

ВОЛНА РАЗРЕЖЕНИЯ В РЕЛАКСИРУЮЩЕЙ СМЕСИ ГАЗОВ

В. Н. Архипов

(Москва)

Волна разрежения, распространяющаяся в газовой среде, вызывает отклонение среды от термодинамического равновесия. При этом в газовой среде начинаются внутренние процессы, стремящиеся восстановить равновесие. В тех случаях, когда эти процессы протекают быстро (время релаксации мало), восстановление равновесия (в каждый момент и в каждой точке) успевает практически полностью следовать за ходом изменения объема среды, и отклонением от равновесия можно пренебречь. В этом случае волна разрежения является изэнтропической. Теория изэнтропической одномерной волны разрежения разработана достаточно полно [1].

Если же время релаксации велико, то отклонение среды от равновесия необходимо учитывать. В этом случае волна разрежения становится неизэнтропической, и задача об определении параметров газа в ней усложняется.

Вращательную релаксацию в центрированной одномерной волне разрежения при отсутствии химических реакций рассмотрели Вуд и Паркер [2]. В этом случае удельные теплоемкости постоянны.

Ниже рассматривается распространение одномерной центрированной волны разрежения в реагирующей смеси газов, сопровождаемое нарушением равновесия. Реакции при этом протекают неравновесно, а удельные теплоемкости перестают быть постоянными и изменяются в зависимости от изменения температуры и концентраций компонент смеси.

**1. Постановка задачи и термодинамические соотношения.** Рассмотрим одномерное движение смеси газов в трубе с постоянной площадью поперечного сечения. Предположим, что причиной движения смеси является движение поршня, который ограничивает смесь газов в трубе слева.

При  $t < 0$  поршень и смесь газов в трубе находятся в покое, а смесь газов при этом находится в состоянии равновесия. В момент времени  $t = 0$  поршень начинает двигаться влево с постоянной скоростью  $U_p < 0$ . При этом вправо по трубе в смеси распространяется возмущение, происходящее от движения поршня. Состояние равновесия нарушается, и в смеси возникают химические реакции.

При рассмотрении движения реагирующей смеси будем предполагать, что поступательная, вращательная и колебательная энергии имеют равновесные значения, а возбуждение электронов и ионизация отсутствуют. Вязкостью и теплопроводностью газов пренебрегаем.

Если смесь состоит из  $N$  газов, то ее термодинамическое состояние полностью описывается  $2N + 5$  переменными. Из них только  $N + 2$  являются независимыми. Пусть  $H$ ,  $p$ ,  $S$  суть энтальпия, давление и энтропия смеси, а  $c_i$  — массовая доля  $i$ -й компоненты смеси. При этом пусть

$$H = H(p, S, c_i) \quad (i = 1, 2, \dots, N) \quad (1.1)$$

Температура  $T$  смеси, плотность  $\rho$  смеси и химический потенциал  $\mu_i$   $i$ -й компоненты смеси определяются формулами

$$T = \frac{\partial H}{\partial S}, \quad \frac{1}{\rho} = \frac{\partial H}{\partial p}, \quad \mu_i = \frac{\partial H}{\partial c_i} \quad (i = 1, 2, \dots, N) \quad (1.2)$$

Основное соотношение термодинамики имеет вид

$$TdS = dH - \frac{1}{\rho} dp - \sum_{i=1}^N \mu_i dc_i \quad (1.3)$$

Предполагаем, что для каждой компоненты смеси и для всей смеси справедливо уравнение состояния идеального газа, так что

$$p_i = \frac{R}{M_i} \rho_i T, \quad p = \frac{R}{M} \rho T \quad \left( \frac{1}{M} = \sum_{i=1}^N \frac{c_i}{M_i} \right) \quad (1.4)$$

Здесь  $M$ ,  $M_i$  — молекулярные веса смеси и  $i$ -й компоненты смеси соответственно,  $\rho_i$  — парциальная плотность  $i$ -й компоненты смеси,  $p_i$  — парциальное давление.

2. Газодинамические уравнения. В переменных Лагранжа  $h, t$  движение реагирующей смеси газов в трубе описывается уравнениями:

$$\frac{\partial c_i}{\partial t} = \frac{\sigma_i}{\rho} \quad (\text{уравнение неразрывности } i\text{-й компоненты смеси}) \quad (2.1)$$

$$\frac{\rho_1}{\rho^2} \frac{\partial \rho}{\partial t} + \frac{\partial u}{\partial h} = 0 \quad (\text{уравнение неразрывности всей смеси}) \quad (2.2)$$

$$\rho_1 \frac{\partial u}{\partial t} + \frac{\partial p}{\partial h} = 0 \quad (\text{уравнение импульса для смеси}) \quad (2.3)$$

$$\frac{\partial H}{\partial t} = \frac{1}{\rho} \frac{\partial p}{\partial t} \quad (\text{уравнение энергии для смеси}) \quad (2.4)$$

Здесь  $u$  — макроскопическая скорость смеси,  $\sigma_i$  — функция химического источника  $i$ -й компоненты смеси, т. е. массовая скорость образования вследствие химических реакций  $i$ -й компоненты в единице объема. Индексом 1 здесь и далее обозначаются параметры состояния невозмущенной смеси.

Используя (1.3), (2.4) и (2.1), уравнение (2.2) можно привести к виду

$$\frac{\partial p}{\partial t} + \frac{\rho^2 a_f^2}{\rho_1} \frac{\partial u}{\partial h} = \frac{a_f^2}{\partial H / \partial \rho} \sum_{i=1}^N \frac{\partial H}{\partial c_i} \frac{\sigma_i}{\rho} \quad (\bar{H} = H(p, \rho, c_i)) \quad (2.5)$$

где  $a_f$  — замороженная скорость звука, определяемая соотношением

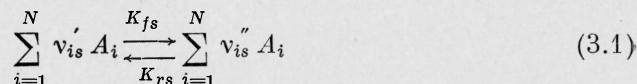
$$a_f^2 = \gamma_f \frac{p}{\rho} \quad (2.6)$$

а  $\gamma_f = \gamma_f(T, c_i)$  — отношение замороженных удельных теплоемкостей.

Если предположить, что кавитация отсутствует, то граничные условия для уравнений (2.1) — (2.5) можно записать в виде

$$\begin{aligned} u(0, t) &= U_p, & p(h, 0) &= p_1, & \rho(h, 0) &= \rho_1 \\ H(h, 0) &= H_1, & c_i(h, 0) &= c_{i1}, & u(h, 0) &= 0 \\ T(h, 0) &= T_1, & a_f(h, 0) &= a_{f1} \end{aligned} \quad (2.7)$$

3. Определение функции химического источника. Рассмотрим  $s$ -ю химическую реакцию



где  $A_i$  — символ  $i$ -й компоненты смеси,  $v_{is}'$  и  $v_{is}''$  — стехиометрические коэффициенты веществ, вступающих в реакцию, и продуктов реакции соответственно,  $K_{fs}$  и  $K_{rs}$  — константы скоростей прямой и обратной реакций соответственно.

Скорость протекания  $s$ -й реакции выражается следующим образом:

$$R_s = K_{fs} \prod_{i=1}^N [A_i]^{v_{is}'} - K_{rs} \prod_{i=1}^N [A_i]^{v_{is}''} \quad ([A_i] = \frac{\rho c_i}{M_i}) \quad (3.2)$$

Здесь  $[A_i]$  — молярная концентрация  $i$ -й компоненты.

Суммарная массовая скорость образования  $i$ -ой компоненты в процессе  $s$ -й реакции тогда будет равна

$$\sigma_{is} = M_i (v_{is}'' - v_{is}') R_s \quad (3.3)$$

а суммарная массовая скорость образования  $i$ -й компоненты в ходе всех  $N_m$  реакций

$$\sigma_i = \sigma_{i1} + \dots + \sigma_{iN_m} \quad (3.4)$$

**4. Характеристики.** В плоскости  $ht$  имеются два семейства характеристик, уравнения которых суть

$$\left(\frac{dh}{dt}\right)_{\pm} = \pm \frac{\rho a_f}{\rho_1} \quad (4.1)$$

Здесь и ниже индекс плюс относится к характеристикам первого семейства, а индекс минус — к характеристикам второго семейства.

Вдоль характеристик выполняются условия

$$\pm \rho a_f \left(\frac{du}{dt}\right)_{\pm} + \left(\frac{dp}{dt}\right)_{\pm} = \frac{a_f^2}{\partial H / \partial \rho} \sum_{i=1}^N \frac{\partial H}{\partial c_i} \frac{\sigma_i}{\rho} \quad (4.2)$$

Линия тока, уравнение которой

$$\left(\frac{dh}{dt}\right)_0 = 0 \quad (4.3)$$

также обладает некоторыми характеристическими свойствами. Вдоль нее выполняются условия

$$\left(\frac{dc_i}{dt}\right)_0 = \frac{\sigma_i}{\rho}, \quad \left(\frac{dH}{dt}\right)_0 = \frac{1}{\rho} \left(\frac{dp}{dt}\right)_0, \quad \left(\frac{dS}{dt}\right)_0 = -\frac{1}{\rho T} \sum_{i=1}^N \mu_i \sigma_i \quad (4.4)$$

Индекс 0 означает дифференцирование вдоль линии тока.

Для газа, находящегося в состоянии покоя, характеристики (4.1) суть прямые линии с наклоном  $\pm a_{f1}$ . Можно показать, что возмущение в газе, происходящее от движения поршня, распространяется в невозмущенный газ со скоростью  $a_{f1}$ , так что в плоскости  $ht$  область невозмущенного газа отделяется от области возмущенного газа прямой  $h = a_{f1}t$ .

В таком случае граничные условия (2.7) могут быть переписаны в виде

$$\begin{aligned} p(a_{f1}t, t) &= p_1, & \rho(a_{f1}t, t) &= \rho_1, & H(a_{f1}t, t) &= H_1, & a_f(a_{f1}t, t) &= a_{f1} \\ c_i(a_{f1}t, t) &= c_{i1}, & u(a_{f1}t, t) &= 0, & T(a_{f1}t, t) &= T_1 \end{aligned} \quad (4.5)$$

**5. Преобразование переменных.** Введем новые переменные

$$y = \frac{h}{t}, \quad t = t \quad (5.1)$$

В этих переменных уравнения (2.1) — (2.5) примут вид

$$\begin{aligned} t \frac{\partial c_i}{\partial t} - y \frac{\partial c_i}{\partial y} &= t \frac{\sigma_i}{\rho}, & \frac{\rho_1}{\rho^2} \left( t \frac{\partial \rho}{\partial t} - y \frac{\partial \rho}{\partial y} \right) + \frac{\partial u}{\partial y} &= 0 \\ \rho_1 \left( t \frac{\partial u}{\partial t} - y \frac{\partial u}{\partial y} \right) + \frac{\partial p}{\partial y} &= 0, & t \frac{\partial H}{\partial t} - y \frac{\partial H}{\partial y} &= \frac{1}{\rho} \left( t \frac{\partial p}{\partial t} - y \frac{\partial p}{\partial y} \right) \\ t \frac{\partial S}{\partial t} - y \frac{\partial S}{\partial y} &= -\frac{1}{T} \sum_{i=1}^N \mu_i \left( t \frac{\partial c_i}{\partial t} - y \frac{\partial c_i}{\partial y} \right) \end{aligned} \quad (5.2)$$

Введем безразмерные переменные по формулам

$$\begin{aligned} t^\circ &= \frac{t}{\tau_1}, & h^\circ &= \frac{h}{a_{f1}\tau_1}, & y^\circ &= \frac{h^\circ}{t^\circ}, & a_f^\circ &= \frac{a_f}{a_{f1}}, & u^\circ &= \frac{u}{a_{f1}} \\ U_p^\circ &= \frac{U_p}{a_{f1}}, & p^\circ &= \frac{p}{P_1}, & \rho^\circ &= \frac{\rho}{\rho_1}, & T^\circ &= \frac{T}{T_1}, & S^\circ &= \frac{S}{(P_1/\rho_1 T_1)} \\ H^\circ &= \frac{H - H_1}{(P_1/\rho_1)}, & \sigma_i^\circ &= \frac{\sigma_i \tau_1}{\rho_1}, & \mu_i^\circ &= \frac{\mu_i}{(P_1/\rho_1)} \end{aligned} \quad (5.3)$$

где  $\tau_1$  — характерное время задачи. Уравнения (5.2) в безразмерных величинах примут вид (индекс<sup>o</sup> опущен)

$$\begin{aligned}
 t \frac{\partial c_i}{\partial t} - y \frac{\partial c_i}{\partial y} &= t \frac{\sigma_i}{\rho}, \quad \frac{1}{\rho^2} \left( t \frac{\partial \rho}{\partial t} - y \frac{\partial \rho}{\partial y} \right) + \frac{\partial u}{\partial y} = 0 \\
 \gamma_{f1} \left( t \frac{\partial u}{\partial t} - y \frac{\partial u}{\partial y} \right) + \frac{\partial p}{\partial y} &= 0, \quad t \frac{\partial H}{\partial t} - y \frac{\partial H}{\partial y} = \frac{1}{\rho} \left( t \frac{\partial p}{\partial t} - y \frac{\partial p}{\partial y} \right) \quad (5.4) \\
 t \frac{\partial S}{\partial t} - y \frac{\partial S}{\partial y} &= - \frac{1}{T} \sum_{i=1}^N \mu_i \left( t \frac{\partial c_i}{\partial t} - y \frac{\partial c_i}{\partial y} \right) \quad (\gamma_{f1} = \gamma_f(T_1, c_{i1}))
 \end{aligned}$$

Граничные условия (4.5) примут вид

$$\begin{aligned}
 U(0, t) = U_p, \quad p(1, t) = 1, \quad H(1, t) = 0, \quad T(1, t) = 1 \\
 \rho(1, t) = 1, \quad u(1, t) = 0, \quad c_i(1, t) = c_{i1}, \quad a_f(1, t) = 1 \quad (5.5)
 \end{aligned}$$

В новых переменных характеристики (4.1), линии тока (4.3) и условия вдоль них (4.2) и (4.4) запишутся в виде

$$\begin{aligned}
 \left( \frac{d(yt)}{dt} \right)_{\pm} &= \pm \rho a_f, \quad \left( \frac{d(yt)}{dt} \right)_0 = 0 \\
 \pm \gamma_{f1} \rho a_f \left( \frac{du}{dt} \right)_{\pm} + \left( \frac{dp}{dt} \right)_{\pm} &= \frac{\gamma_{f1} a_f^2}{\partial H / \partial \rho} \sum_{i=1}^N \frac{\partial H}{\partial c_i} \frac{\sigma_i}{\rho} \quad (H = H(p, \rho, c_i)) \\
 \left( \frac{dH}{dt} \right)_0 &= \frac{1}{\rho} \left( \frac{dp}{dt} \right)_0, \quad \left( \frac{dc_i}{dt} \right)_0 = \frac{\sigma_i}{\rho} \quad (5.6)
 \end{aligned}$$

**6. Решение для малых  $t$ .** В пределе при  $t \rightarrow 0$  уравнения (5.4) превратятся в систему обыкновенных дифференциальных уравнений для функций  $p(y, 0) = p^*(y)$  и т. д., а именно в систему

$$\begin{aligned}
 y \frac{dc_i^*}{dy} = 0, \quad y \frac{dp^*}{dy} - \rho^{*2} \frac{du^*}{dy} = 0, \quad \gamma_{f1} y \frac{du^*}{dy} - \frac{dp^*}{dy} = 0 \\
 y \frac{dH^*}{dy} = \frac{1}{\rho^*} y \frac{dp^*}{dy}, \quad y \frac{dS^*}{dy} = 0 \quad (6.1)
 \end{aligned}$$

Первое уравнение (при  $y \neq 0$ ) дает с учетом граничных условий

$$c_i^* = c_{i1}$$

т. е. при малых  $t$  течение можно считать замороженным.

Последнее уравнение (6.1) показывает, что течение при этом изэнтропично, так как  $S^* = S_1$ . Таким образом, в пределе при малых  $t$  имеет место изэнтропическая центрированная волна разрежения [1].

Прежде всего заметим, что система (6.1) имеет тривиальное решение

$$u^* = \text{const}, \quad p^* = \text{const}, \quad H^* = \text{const} \quad (6.2)$$

Это соответствует невозмущенному состоянию смеси. Рассмотрим теперь случай непостоянных значений параметров  $u^*, p^*, H^*$ . Второе уравнение системы (6.1) преобразуется к виду

$$y \frac{dp^*}{dy} - \gamma_{f1} \rho^{*2} a_f^{*2} \frac{du^*}{dy} = 0$$

Сравнивая это уравнение с третьим уравнением системы (6.1), убеждаемся в том, что они совместны лишь, если  $\rho^* a_f^* = y$ .

Поэтому система уравнений (6.1) может быть заменена системой

$$\begin{aligned}
 \rho^* a_f^* = y, \quad \gamma_{f1} \rho^* a_f^* \frac{du^*}{dy} = \frac{dp^*}{dy}, \quad a_f^* \frac{d\rho^*}{dy} = \rho^* \frac{du^*}{dy} \quad (6.3) \\
 p^* = \rho^* T^*, \quad a_f^{*2} = \frac{\gamma_f(T^*)}{\gamma_{f1}} \frac{p^*}{\rho^*}
 \end{aligned}$$

Однако, если исключить случай кавитации легко видеть, что решение системы (6.3) непригодно для  $y = 0$  (здесь должно быть  $\rho^* a_f^* = 0$ ). Поэтому следует предположить, что в некоторой области  $0 \leq y \leq y_c$  параметры состояния и движения газа постоянны (это совместимо с системой дифференциальных уравнений (6.1)).

Координата  $y = y_c$  определяется условием

$$u^*(y_c) = U_p \quad (6.4)$$

В области  $y_c \leq y \leq 1$ , где  $\rho^* a_f^* = y$ , уравнения характеристик первого и второго семейств соответственно имеют вид

$$y = \text{const}, \quad yt^2 = \text{const}$$

В области  $0 \leq y \leq y_c$ , где  $\rho^* a_f^* = y_c$ , уравнения характеристик суть

$$yt = \pm y_c t + \text{const}$$

Параметры задачи в непосредственной близости к оси  $t = 0$  можно определить, зная выводящие производные. Для  $y_c \leq y \leq 1$  удобнее искать характеристические производные. Для этого введем характеристические переменные  $\alpha$  и  $\beta$ . Пусть вдоль характеристик второго семейства постоянно  $\beta$ ; положим  $\beta$  равным значению  $t$ , при котором характеристика пересекает прямую  $y = 1$ . Вдоль характеристик первого семейства постоянным будем считать  $\alpha$ ; положим  $\alpha$  равным значению  $y$ , при котором характеристика пересекает прямую  $t = 0$  в области  $y_c \leq y \leq 1$ . В области  $0 \leq y \leq y_c$  пусть  $\alpha$  будет равно значению  $t$ , при котором характеристика пересекает ось  $y = 0$ , взятому с обратным знаком. Тогда уравнения характеристик и условия вдоль характеристик и линий тока запишутся в виде

$$ty_\beta + (y - \rho a_f) t_\beta = 0 \quad (6.5)$$

$$ty_\alpha + (y + \rho a_f) t_\alpha = 0 \quad (6.6)$$

$$\gamma_{f1} \rho a_f u_\beta + p_\beta = \left\{ \frac{\gamma_{f1} a_f^2}{\partial H / \partial \rho} \sum_{i=1}^N \frac{\partial H}{\partial c_i} \frac{\sigma_i}{\rho} \right\} t_\beta \quad (6.7)$$

$$\gamma_{f1} \rho a_f u_\alpha - p_\alpha = \left\{ \frac{\gamma_{f1} a_f^2}{\partial H / \partial \rho} \sum_{i=1}^N \frac{\partial H}{\partial c_i} \frac{\sigma_i}{\rho} \right\} t_\alpha \quad (6.8)$$

$$c_{i\alpha} t_\beta + c_{i\beta} t_\alpha = \frac{2\sigma_i}{\rho} t_\alpha t_\beta \quad (6.9)$$

$$p_\alpha t_\beta + p_\beta t_\alpha - a_f^2 \rho_\alpha t_\beta - a_f^2 \rho_\beta t_\alpha = \frac{2a_f^2}{\partial H / \partial \rho} \sum_{i=1}^N \frac{\partial H}{\partial c_i} \frac{\sigma_i}{\rho} t_\alpha t_\beta \quad (6.10)$$

Здесь  $H = H(p, \rho, c_i)$ . При этом

$$\begin{aligned} y(\alpha, 0) &= \alpha, & t(\alpha, 0) &= 0, & (\alpha > y_c) \\ y(1, \beta) &= 1, & t(1, \beta) &= \beta, & p(1, \beta) = 1 \\ u(1, \beta) &= 0, & c_i(1, \beta) &= c_{i1}, & T(1, \beta) = 1 \\ & & a_f(1, \beta) &= 1 & \end{aligned} \quad (6.11)$$

Обозначим

$$f^{**}(\alpha) = f_\beta(\alpha, 0) \quad (6.12)$$

где  $f$  — любой параметр задачи.

Продифференцируем уравнения (6.6), (6.8), (6.9) и (6.10) по  $\beta$ , уравнение (6.7) по  $\alpha$ , положим в полученных уравнениях, а также в уравнении (6.5)  $\beta = 0$  и применим условия (6.11). Получим систему уравнений

$$\begin{aligned} \gamma_{f1} a u_{\alpha}^{\times \times} + p_{\alpha}^{\times \times} &= F_1, & p_{\alpha}^{\times \times} - a f^{\times \times} \gamma_{f1} \rho_{\alpha}^{\times \times} &= F_2, & \gamma_{f1} a u_{\alpha}^{\times \times} - p_{\alpha}^{\times \times} &= F_3 \\ c_{i\alpha}^{\times \times} &= F_{4i}, & t^{\times \times} + 2at_{\alpha}^{\times \times} &= 0, & y^{\times \times} &= \frac{1}{2} \pi^{\times \times}, & \pi &= \rho a f \end{aligned} \quad (6.13)$$

где  $F_1, F_2, F_3$  и  $F_{4i}$  суть функции  $f^{\times \times}, f_{\alpha}(\alpha, 0), f(\alpha, 0)$ .

Предпоследнее уравнение (6.13) после интегрирования дает

$$t^{\times \times}(\alpha) = \alpha^{-1/2}, \quad \alpha > y_c$$

Первые четыре уравнения системы (6.13) можно проинтегрировать численно и найти таким образом величины  $f^{\times \times}(\alpha) = f_{\beta}(\alpha, 0)$ . После этого можно найти  $y^{\times \times}$ .

На отрезке  $0 \leq y \leq y_c$  определим производные

$$f_i(y, 0) = f_*(y)$$

Продифференцируем первые четыре уравнения (5.4) по  $t$  и положим в полученных уравнениях  $t = 0$ . Тогда окажется, что величины  $f_*$  определяются из следующей системы уравнений:

$$\begin{aligned} \rho_c^{\times \times} \frac{du_*}{dy} - y \frac{dp_*}{dy} &= F_1^*, & \frac{dF_*}{dy} - \gamma_{f1} y \frac{du_*}{dy} &= F_2^* \\ \gamma_{f1} y a \frac{dp_*}{dy} &= y \frac{dF_*}{dy} + F_3^*, & y \frac{dc_{i*}}{dy} &= F_{4i}^* \end{aligned} \quad (6.14)$$

которую можно проинтегрировать численно. (Функции  $F_1^*, F_2^*, F_3^*, F_{4i}^*$  зависят только от  $f_*$  и  $f(\alpha, 0)$ ).

Граничными условиями будут условия непрерывности функций

$$f_*(y_c) = f^{\times \times}(\alpha_c) / t^{\times \times}(\alpha_c) \quad \text{при } \alpha = \alpha_c$$

Решения систем (6.13) и (6.14) могут быть использованы для контроля при счете методом характеристик.

**7. Численные результаты: идеально диссоциирующий газ.** Решение системы уравнений (6.1) для  $t = 0$  и условия (5.5) составляют систему граничных условий в задаче об определении параметров газа в волне разрежения с учетом релаксации.

В качестве примера рассмотрим идеально диссоциирующий газ, схема которого была предложена Лайтхиллом [3] и применена Фрименом [4].

В этом случае

$$\begin{aligned} H &= (4+c) \frac{p/\rho}{1+c} + cd & \left( d = 3.362 \cdot 10^{11} \frac{\text{см}^2}{\text{сек}^2} \right) \\ \sigma &= \Lambda \left( \frac{\rho}{\rho_1} \right)^2 \left[ (1-c) e^{-d/R_2 T} - \frac{\rho}{\rho_d} c^2 \right] & \left( \Lambda = \frac{\tau_1}{(\rho_1 C)^{-1}}, \quad \rho_{d1}^* = 130 \frac{\text{г}}{\text{см}^3} \right) \end{aligned}$$

Здесь  $(\rho_1 C)^{-1}$  — временной масштаб процесса диссоциации,  $R_2$  — газовая постоянная молекулярной компоненты смеси,  $c$  — массовая доля атомарной компоненты смеси (здесь все величины, кроме  $c$ , размерные).

Расчеты проводились методом характеристик для значений

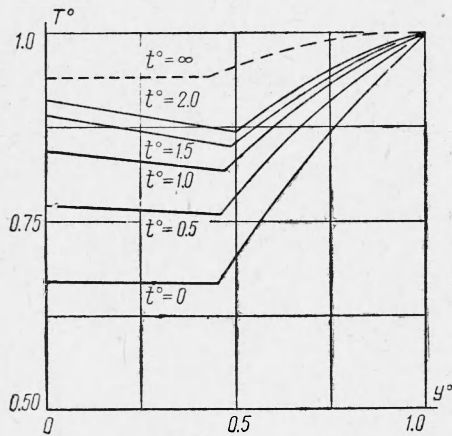
$$\Lambda = 10^7 \text{ и } 10^6, \quad c_1 = 0.9706, \quad U_p^{\circ} = 0.63, \quad \gamma_{f1} = 1.66$$

На фиг. 1 приведен профиль температуры  $T^{\circ}$  в волне разрежения для  $t^{\circ} = 0, 0.5, 1.0, 1.5, 2.0, \Lambda = 10^7$ . Расчеты для  $t^{\circ} = 0$  проведены по формулам (6.3). На фиг. 2 приведены для сравнения профили температуры  $T^{\circ}$  для случаев замороженного течения (кривая 1),  $\Lambda = 10^6$  при  $t^{\circ} = 1$  (кривая 2) и  $\Lambda = 10^7$  при  $t^{\circ} = 1$  (кривая 3).

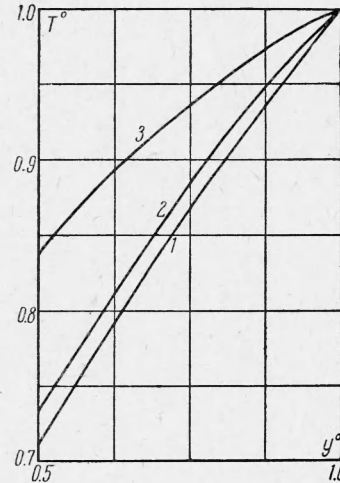
8. О предельной форме уравнений при  $t \rightarrow \infty$ . Предполагая существование пределов

$$\lim_{t \rightarrow \infty} f(y, t), \quad \lim_{t \rightarrow \infty} (\partial f / \partial \ln t)$$

(где  $f$  — любой параметр задачи) и переходя в уравнениях, описывающих распространение волны разрежения в релаксирующем газе, формально к пределу при  $t \rightarrow \infty$ , Вуд и Паркер [2] получили систему уравнений для центрированной равновесной изэнтропической волны разрежения.



Фиг. 1



Фиг. 2

В тех же предположениях можно получить из уравнений (5.2) следующую систему:

$$\sigma_i = 0, \quad S = S_1 \quad (8.1)$$

$$\frac{\rho_1}{\rho^2} y \frac{d\rho}{dy} - \frac{du}{dy} = 0, \quad \rho_1 y \frac{du}{dy} - \frac{dp}{dy} = 0, \quad \frac{dH}{dy} = \frac{1}{\rho} \frac{dp}{dy}$$

описывающую центрированную волну разрежения, распространяющуюся в реагирующей смеси газов без нарушения термодинамического и химического равновесия. На фиг. 1 пунктирной кривой нанесен профиль температуры  $T^\circ$ , полученный при решении системы (8.1).

В заключение благодарю С. С. Семенова, Н. С. Коржикова и Л. И. Северинова за обсуждение работы.

Поступила 25 IV 1962

#### ЛИТЕРАТУРА

1. Курант Р., Фридрихс К. Сверхзвуковое течение и ударные волны. Изд-во иностр. лит-ры, 1950.
2. Wood W. W., Parker F. R. Structure of a Centered Rarefaction Wave in a Relaxing Gas. *Phys. of Fluids*, 1958, No. 3, 230—241.
3. Lighthill M. J. Dynamics of a dissociating gas. Part I. Equilibrium Flow. *Journ. Fluid Mechanics*, 1957, v.2, 1—32. (Русск. пер. Лайтхилл «Динамика диссоциирующего газа. 1. Равновесный поток». Сб. пер. Вопросы ракетной техники, 1957, № 5 (41), 66—75 и 1957, № 6 (42), 41—60.
4. Freeman N. C. Non-equilibrium flow of an ideal dissociating gas. *Journ. Fluid Mechanics*, 1958, 4, 4, 407—425. (Русск. пер. Н. К. Фримен «Неравновесное течение идеально диссоциирующего газа». Сб. пер. Механика, 1959, № 3 (55) 69—85.